УДК 551.243.4

ГЕОЛОГИЯ

Л. П. ЕФИМОВА

ГЕОЛОГИЧЕСКАЯ ПОЗИЦИЯ И ВОЗРАСТ СУРОЯМСКОГО ГИПЕРБАЗИТОВОГО МАССИВА НА ЗАПАДНОМ СКЛОНЕ УРАЛА

(Представлено академиком А. В. Пейве 14 IV 1972)

Суроямский массив расположен в южной части Уфимского амфитеатра, в районе сопряжения Уфалейского и Тараташского антиклинориев и Западно-Уральской зоны складчатости, в 25 км юго-восточнее г. Нязепетровска. Он приурочен к южному замыканию Нязепетровской синклинали, в ядре которой выходят переслаивающиеся туфы, туффиты и порфириты базальтового состава верхней толщи бардымской свиты ордовика, непосредственно окружающие массив, а крылья к западу и востоку сложены переслаивающимися алевролитами, сланцами, диабазами и туфами основного состава нижней толщи той же свиты. На юге породы массива по разломам контактируют с известняками репнинскобыковской и с отложениями терригенно-карбонатной толщ девона.

Суроямский массив представляет собой группу тел гипербазитового состава, занимающих площадь около 40 км²; положение их, по геологическим и геофизическим данным, контролируется тектоническими нарушениями северо-западного и субмеридионального простирания. Мелкие неправильной формы тела верлитов, серпентинитов и пироксенитов, имеющие в северной части массива общее северо-западное, а в южной — субмеридиональное простирание, как бы облекают наиболее крупное

пироксенитовое тело, имеющее площадь около 20 км² (рис. 1).

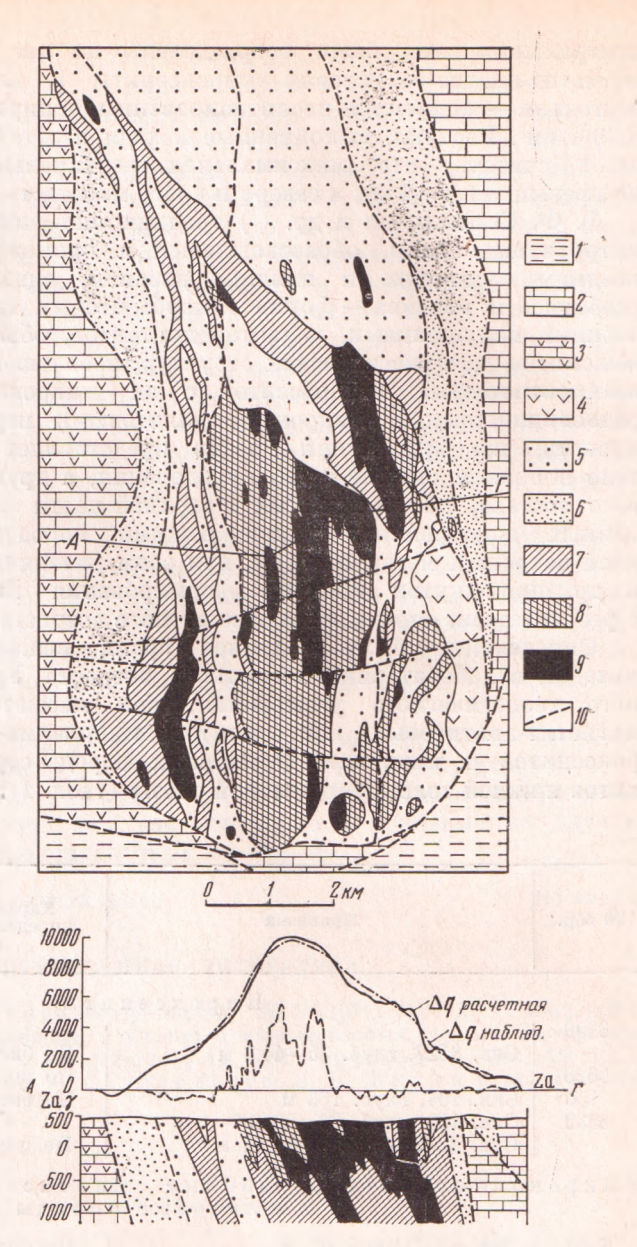
Пироксениты Суроямского массива привлекли внимание геологов необычным для Урала сочетанием полезных компонентов еще в начале текущего столетия. В 1963—1968 гг. поисковыми работами Г. Ф. Селиверстова, И. В. Жилина и др. (4) было установлено, что они представляют промышленный интерес и содержат в среднем 15,05% общего Fe, 12,30% рудного Fe, 1,46% TiO₂, 2,59% P₂O₅ и 0,106% V₂O₅; малотитанистый магнетит и апатит могут быть извлечены в магнетитовый и апатитовый

концентраты.

В суроямских пироксенитах выделяется по крайней мере три разновозрастных парагенезиса; наиболее ранний — клинопироксен + магнетит + апатит; более поздний парагенезис с биотитом — продукт высокотемпературного калиевого метасоматоза; наконец, самый поздний — микроклин-цеолитовый парагенезис. Низкотемпературным калинатровым метасоматозом затронуты в различной степени как гипербазиты, так и вмещающие эффузивные породы; в керпе скважин можно наблюдать постепенные переходы от магнетит-апатит-биотитовых пироксенитов через промежуточные полосчатые разновидности к лейкократовым микроклин-цеолитовым породам — типичную метасоматическую колонку в понимании Д. С. Коржинского (2). Есть основания считать, что наиболее ранний парагенезис также не является первичным и что суроямские рудные пироксениты, подобно качканарским, образовались метасоматическим путем по первично-дунитовому субстрату.

Контакты вмещающих пород с гипербазитами, вскрытые шурфами и скважинами,— резкие, прямолинейные, сопровождаемые явлениями милонитизации и катаклаза то вмещающих пород, то пород массива, или

Рис. 1. Схема геологического строения Суроямского массива (по материалам В. И. Петрова, Г. Ф. Селиверстова, И. В. Жилина, Л. П. Ефимовой). 1 — терригенные отложения зилаирской $(D_3 fm - C_1 tzl);$ свиты мраморизованные репнинскоизвестняки быковской карбонатной толщи (D₂ — D₃fr?); 3 пинэжопто терригеннокарбонатной толщи $(D_2e); 4 — фтаниты тер$ кремнистой ригенно толщи (S₁ln); 5 — верх-(порфирито-туфовая) толща бардымской $(O_{2-3}br_2);$ свиты (сланцево-дипижняя толща барабазовая) дымской $(O_{4-2}br_4)$; 7 — верлиты и серпентиниты; 8 - пироксениты магнетит-апатит-биотитовые; 9 — гипербазиты и эффузивы, затронутые кали-натровым метасоматозом, и метасоматические микроклинцеолитовые роды; 10 — тектонические нарушения



тех и других одновременно; особенно значительны эти явления в серпентинитах юго-западной части массива, нередко имеющих брекчиевидный облик. Падение западного контакта восточное и юго-восточное под углом в 70°, восточного — крутое восточное.

Внутреннее строение гипербазитовых тел также осложнено тектоникой; наблюдаются многочисленные зеркала скольжения, сопровождаемые тектоническими брекчиями и милонитами с характерными катакластическими структурами. При этом зеркала скольжения, тектонические брекчии и милониты, обычные в гипербазитах, сравнительно редки в микроклин-цеолитизированных разновидностях этих пород и в метасоматических микроклин-цеолитовых породах.

Для центральной части массива по профилю $A\Gamma$ (см. рис. 1) была количественно интерпретирована кривая силы тяжести *, пироксениты

^{*} Расчеты выполнены в партии сводных геофизических карт Уральского территориального геологического управления под руководством Е. М. Ананьевой.

центрального тела были подразделены на две части: это западная — магнетит-апатит-биотитовые пироксениты с плотпостью 3,40 г/см³ и восточная — микроклин-цеолитизированные пироксениты с плотностью 3,09 г/см³. Расчеты, выполненные исходя из этой модели разреза, позволяют считать, что максимальная вертикальная мощность массива

не превышает 2—3 км; к северу и к югу мощность уменьшается.

Г. Ф. Селиверстов и др. (4) традиционно считали Суроямский массив интрузивным телом, образовавшимся в промежутке между средним — ноздиим ордовиком и нижним девоном, однако изложенные выше ссобенности массива — форма гипербазитовых тел, их связь с тектоническими нарушениями, характер контактов, обилие зеркал скольжения, милонитов, катакластических структур, небольшая мощность, особенности взаимоотношений гипербазитов с их микроклин-цеолитизированными разновидностями и микроклин-цеолитовыми породами — позволяют допускать, что Суроямский массив представляет собой не интрузивное тело в полном смысле этого определения, а группу блоков гипербазитового состава, расположенных в верхней части земной коры и преобразованных одновременно с вмещающими породами низкотемпературным кали-натровым метасоматозом, при этом указанный Г. Ф. Селиверстовым и др. промежуток времени формирования массива не увязывается с результатами определения абсолютного возраста.

Определения были в разное время выполнены калий-аргоновым методом в лаборатории абсолютного возраста Уральского территориального геологического управления; они касаются трех групп пород: магнетит-апатитовых пироксенитов, микроклин-цеолитизированных пироксенитов и микроклин-цеолитовых пород, серицит-кварцевых алевро-

литов нижней толщи бардымской свиты (табл. 1).

Таблица 1

			Maria Maria	NG Sun Fil
№ о б р.	Привязка	Характер определения	Содерж. К, вес. %	Возраст, млн лет
II проксениты]				
6309 6628 150 8339 Микроп	Скв. 8327, глуб. 35—44,2 м Скв. 104, глуб. 163 м Скв. 150, глуб. 38—52 м* Скв. 8339, глуб. 93,5—94 м* клин-цеолитизированные и	*	7,32 1,35 3,88 6,34 1,43	525±25 518±7 469±15 594±7 512±10 к рао к л и н-
6300 6607 8282 ¹ 8482 ²	Скв. 8332, глуб. 42 м Скв. 104, глуб. 18 м Скв. 8282, глуб. 53—54 м* Скв. 8282, глуб. 51—52 м*	По породе » » »	6,43 0,69 0,81 5,40	333±19 375±19 385±11 378
Алевролит серицит-кварцевый				
31	Скв. 31, глуб. 133 м*	По породе	2,43	422 <u>±</u> 2

^{*} Определения из материалов Г. Ф. Селиверстова и И. В. Жилина.

Таким образом, абсолютный возраст серицит-кварцевых алевролитов нижней толщи бардымской свиты по геохронологической шкале 1964 г. соответствует середине силура; если принять во внимание, что определение абсолютного возраста производилось в основном по серициту — наиболее позднему минералу породы и что возможные ошибки метода направлены в сторону занижения возраста и обычно не превышают

20 млн лет, то данные определения абсолютного возраста серицит-кварцевого алевролита согласуются с определением возраста нижней толщи бардымской свиты стратиграфическим методом. Абсолютный возраст биотитовых пироксенитов колеблется в пределах от 469 ± 15 до $594 \pm$ ± 7 млн лет, что соответствует докембрию — среднему ордовику; так как определение возраста пироксенитов производилось по биотиту — наиболее позднему минералу породы, возможно, что сами пироксениты с парагенезисом апатит — магнетит — пироксен образовались еще раньше. Микроклин-цеолитизированные пироксениты и микроклин-цеолитовые породы моложе вмещающих Суроямский массив толщ; их возраст колеблется в пределах от 333 ± 19 до 385 ± 11 млн лет, что соответствует среднему девону — нижнему карбону. На основании этих данных можно сделать вывод, что магнетит-апатит-биотитовые пироксениты — породы более древние, чем вмещающие их отложения бардымской свиты, а микроклин-цеолитизированные гипербазиты и микроклин-цеолитовые породы — продукты кали-натрового метасоматоза — являются самыми молодыми образованиями района.

М. А. Камалетдиновым (1) установлено, что в зоне Уфимского амфитеатра располагается серия тектонических покровов, амилитуда горизонтального перемещения которых составляет не менее 40—50 км. Суроямский массив, по мнению М. А. Камалетдинова, представляет собой останцы самостоятельных тектонических пластин в аллохтоне южной части Нязепетровского шарьяжа. Приводимые данные не противоречат

этому представлению.

Взаимоотношения гипербазитов с вмещающими породами, аналогичные описанным, по-видимому, довольно обычны в складчатых областях (3); они позволяют объяснять такие ставшие уже привычными особенности гипербазитовых тел, как отсутствие в большинстве случаев высокотемпературных экзоконтактовых изменений.

Уральское территориальное геологическое управление Свердловск Поступило 2 IV 1972

ЦИТИРОВАННАЯ ЛИТЕРАТУРА

¹ М. А. Камалетдинов, Геотектоника, № 5 (1971). ² Д. С. Коржинский, В кн. Основные проблемы в учении о магматогенных рудных месторождениях, «Наука», 1953. ³ В. Ф. Морковкина, Г. С. Арутюнян, Изв. АН СССР, сер. геол., № 11 (1971). ⁴ Г. Ф. Селиверстов, И. В. Жилин и др., Разведка и охрана недр, № 8 (1969).